

تعیین پارامترهای چشمۀ های میدان پتانسیل با استفاده از تبدیل موجک یک بعدی

نسترن شکوری منفرد^۱، دکتر حسین زمودیان^۲ و محمود مهرآموز^۳

چکیده

تبدیل موجک در سال‌های اخیر، به عنوان روشی برای تفسیر بی‌هنگاری‌های میدان پتانسیل مورد استفاده قرار گرفته است. گروه خاصی از موجک‌ها وجود دارند که در نظریه‌ی میدان پتانسیل تحت اثر عملگر ادامه‌ی فراسو، بدون تغییر باقی می‌مانند. این موجک‌ها تبدیلات موجک مربوط را می‌سازند که تحلیل پارامترهای چشمۀ مانند: موقعیت افقی، عمق و غیره را تسهیل می‌کنند. استفاده از موجک پواسون که معادل با ادامه‌ی فراسوی سیگنانال تحلیلی است، به ما این امکان را می‌دهد که عمق چشمۀ ی همگن و طبیعت آن را در قالب شاخص ساختاری تعیین نماییم.

در این مقاله با استفاده از بررسی نسبت ضرائب موجک پواسون از مرتبه‌ی اول و دوم، اقدام به تخمین عمق و شاخص ساختاری برای چند مدل مصنوعی گرانی نظیر پله و دایک یک بار به روش تحلیلی و یک بار به روش عددی، نمودیم. نمودارهای به دست آمده نشان می‌دهند که نتایج این دو روش در بسط‌های پایین از مطابقت خوبی با هم برخوردارند اما در بسط‌های بالا به دلیل تاثیر بی‌هنگاری‌های بزرگ مقیاس بر بی‌هنگاری‌های کوچک مقیاس، نتایج به دست آمده از مطابقت خوبی برخوردار نیستند. برای چشمۀ‌های ساده‌ی نقطه‌ای بررسی نسبت ضرائب موجک تنها در یک سطح کافی است. اما برای چشمۀ‌های دو بعدی با اندازه‌ی محدود، باید به بررسی این نسبت در چند سطح مختلف بپردازیم.

کلید واژه‌های: تبدیل موجک، ادامه‌ی فراسو، ضرائب موجک ماکزیمم، شاخص ساختاری، عمق.

Determination of parameters of potential field sources using 1-D wavelet transform

Nastaran Shakoori Monfared, Dr. Hossein Zomorrodian and Mahmood Mehramooz

Abstract

In recent years, wavelet transform was used as a method for interpretation of potential fields. In the potential field theory there are some special groups of wavelets that remain unchanged under the influence of upward continuation operator. These groups of wavelets can produce related wavelet transforms which simplify analyzing of source characteristics like location, depth and etc. Applying poisson wavelet which is equivalent to upward continuation of analytic signal, will help us to determine depth and natural geometry of the homogenous sources in the form of structural index. In this research, we decide to estimate structural index and depth by using the ratio of poisson wavelet coefficients of first and second order. To implement this technique, we used some synthetic models like step and dyke, as well as the real gravity data. The structural index and depth were estimated for these synthetic models by using of analytical and numerical method and compared with each other. Curves of these two parameters shows that results of these two techniques are equivalent at low dilations, but not

^۱ دانشجوی کارشناسی ارشد ژئوفیزیک دانشگاه آزاد اسلامی واحد همدان na_shakoori@yahoo.com

^۲ عضو هیات علمی دانشگاه آزاد اسلامی واحد علوم و تحقیقات تهران hzomorod@hotmail.com

^۳ عضو هیات علمی دانشگاه آزاد اسلامی واحد علوم و تحقیقات تهران md_mehramooz@yahoo.com

for high dilations. For simple point sources, it is quite sufficient to investigate this ratio at one level, but for 2-D finite sources, it is necessary to use it at several different levels.

Keywords: wavelet transform , maximum wavelet coefficients , structural index , depth to the source.

عمق ها و مکان های مختلف در زیر زمین با هم مقایسه می شوند. در عمل، این کار شامل تفسیر داده های میدان پتانسیل با استفاده از خاصیت ادامه ای فراسو و مشتقات میدان می باشد (Sailhac & Gibert 2003). روش تبدیل موجک در مقایسه با سایر روش ها مزیت هایی را دارد. برای نمونه، این تبدیل برخلاف تبدیل فوریه، امکان تحلیل و بررسی محلی میدان اندازه گیری شده را به ما می دهد. همچنین، تبدیل موجک واسطه ای را برای مهار درست نویه ای موجود در داده ها، در مقایسه با روش وهمامیخت اویلربه وجود می آورد (Moreau et al. 1999).

تئوری روش تبدیل موجک برای کار با داده های میدان پتانسیل

در اینجا به اختصار تئوری پایه ای را که توسط (Moreau 1997, 1999) بیان شد را شرح می دهیم. این روش برای یک فضای دو بعدی (x, a) به کار برده می شود که x فواصل نقاط اندازه گیری در امتداد پروفیل مورد مطالعه و a بسط (سطوح ادامه ای فراسو که مقداری مشبّت است)، می باشد. تبدیل موجک W پیوسته ای تابع $\phi_0(x)$ محصولی از همامیخت (کانولوشن)^۱ زیرمی باشد :

(1)

$$w_{\psi|\phi_0}(b,a) = \int_{-\infty}^{+\infty} \frac{dx}{a} \psi\left(\frac{b-x}{a}\right) \phi_0(x)$$

(2)

$$w_{\psi|\phi_0}(b,a) = (D_a \psi * \phi_0)(b)$$

که ψ موجک آنالیزگر، b پارامتر مکان و D_a عملگر بسط می باشد که مطابق رابطه ای زیر تعریف می شود:

مقدمه

پیدا کردن خصوصیات چشمی های میدان پتانسیل (برای مثال مغناطیس و گرانی) که در سطح زمین اندازه گیری شده اند، موضوعی با سابقه ای طولانی است و تاکنون روش های مختلفی برای مساله ای تعیین چشمی معرفی شده اند. این روش ها تقریبا در دو گروه قرار می گیرند:

تفسیر و وارون سازی، که گروه دوم (روش های وارون سازی) مرتبط است با روش هایی که هدف اصلی آنها پیدا کردن پراکندگی (توزیع) چشمی ای است که منشاء میدان پتانسیل اندازه گیری شده است. به خوبی می دانیم که مسائل وارون به صورت عددی و ریاضی مطرح می شوند و راه حل های عملی فقط وقتی قابل اعتمادند که بتوان یک سری شرایط اولیه را به مساله اعمال نمود. روش هایی که به گروه روش های تفسیر کننده تعلق دارند، اطلاعاتی را که در مجموعه ای داده ها موجودند به فضای توزیع چشمی منتقل نمی کنند، اما در عوض اطلاعات را به یک فضای کمکی - برای نمونه حوزه ای فوریه- منتقل می کنند که در آن اطلاعات مربوط به عمق تا بالای چشمی مولد راحت تر به دست می آید. در همین روش، روش های تبدیل، میدان های تبدیل یافته را ایجاد می کند (ادامه ای فراسو، مشتقات افقی، قائم و کسری و برگردان به قطب) که در آنها اطلاعات مورد نیاز به مقدار قابل توجهی افزایش می یابند. Moreau et al. (1999)

روشی که در این مقاله از آن استفاده شده است، یک روش تفسیر کننده است که داده های میدان پتانسیل را با استفاده از ادامه ای فراسوی مشتقات میدان مورد بررسی می کند (Sailhac et al. 2000). در این روش داده های تابع گرین که از چشمی ناشی شده اند در

¹ convolution

$$R = \frac{r^\gamma(x, a)}{r^\gamma(x', a')}$$

برای یک چشمی همگن که در مکان $Z = Z_0$ واقع شده، در دو سطح مختلف a و a' خواهیم داشت : (Vallee et al. 2004)

$$R = \frac{\frac{a'}{a} \mathcal{W}_{\psi^{\gamma+1}}|_{\emptyset(\cdot, z)}(x, a)}{\frac{a'}{a} \mathcal{W}_{\psi^\gamma}|_{\emptyset(\cdot, z)}(x, a)} \frac{\mathcal{W}_{\psi^\gamma}|_{\emptyset(\cdot, z)}(x, a')}{\mathcal{W}_{\psi^{\gamma+1}}|_{\emptyset(\cdot, z)}(x, a')} = \frac{a' + z_0}{a + z_0} \quad (11)$$

با استفاده از این معادله، می‌توانیم عمق چشمی را به شکل زیر تخمین بزنیم :

$$z_0(a, a') = \frac{a' - aR}{R - 1} \quad (12)$$

و شاخص ساختاری نیاز از طریق رابطه‌ی زیر به دست خواهد آمد :

$$N(a, a') = \frac{\log \left[\left(\frac{a'}{a} \right)^\gamma \frac{\mathcal{W}_{\psi^\gamma}|_{\emptyset(\cdot, z)}(x, a)}{\mathcal{W}_{\psi^\gamma}|_{\emptyset(\cdot, z)}(x', a')} \right]}{\log(R)} - \gamma \quad (13)$$

این روش اجازه‌ی تخمین عمق و شاخص ساختاری را برای هر زوجی از بسط‌ها (سطوح ادامه‌ی فراسو) امکان پذیر می‌سازد.

محاسبه‌ی ضریب موجک مرتبه‌ی دوم

الف) پله‌ی قائم دو بعدی

اکنون پله‌ای قائم که دارای عمق بالای Z_1 و عمق پایینی Z_2 می‌باشد را در نظرمی‌گیریم. با استفاده از روابطی (۲-A) و (۳-A) (پیوست A) می‌توان سیگنال تحلیلی مرتبه‌ی دوم این پله را به صورت زیر به دست آورد :

$$\mathcal{W}_{\psi_c^\gamma}|_{g(\cdot, z)}(x, a) = \frac{\partial}{\partial x} \left[\frac{\partial}{\partial x} + i \frac{\partial}{\partial z} \right] g_z = \frac{\partial A_0}{\partial x} = A_1 \quad (14)$$

$$D_a \Psi(x) = \frac{1}{a} \Psi\left(\frac{x}{a}\right) \quad (3)$$

ضرایب موجک قائم و افقی ادامه‌ی فراسو یافته‌ی میدان پتانسیل $\Phi(x, z)$ را می‌توان به این شکل بیان کرد:

$$\mathcal{W}_{\psi_x^\gamma}|_{\phi(\cdot, z)}(x, a) = a^\gamma \frac{\partial^{\gamma-1} \phi_x(x, z+a)}{\partial x^{\gamma-1}} \quad (4)$$

$$\mathcal{W}_{\psi_z^\gamma}|_{\phi(\cdot, z)}(x, a) = a^\gamma \frac{\partial^{\gamma-1} \phi_z(x, z+a)}{\partial x^{\gamma-1}}, \quad (5)$$

و تبدیل موجک مختلط میدان پتانسیل $\Phi(0, z)$ عبارت است از (Moreau 1995) :

$$\mathcal{W}_{\psi_c^\gamma}|_{\emptyset(\cdot, z)}(x, a) = \quad (6)$$

$$\mathcal{W}_{\psi_x^\gamma}|_{\emptyset(\cdot, z)}(x, a) - i \mathcal{W}_{\psi_z^\gamma}|_{\emptyset(\cdot, z)}(x, a)$$

اگر سیگنال تحلیلی A_n را به صورت زیر نمایش دهیم :

$$A_n = \frac{\partial^n}{\partial x^n} \left(\frac{\partial \phi}{\partial x} \right) + i \frac{\partial^n}{\partial x^n} \left(\frac{\partial \phi}{\partial z} \right) \quad (7)$$

می‌توان نشان داد مقدار ضرایب موجک از مرتبه‌ی γ در ارتفاع (بسط) a ، متناسب با مقدار سیگنال تحلیلی مختلط ادامه‌ی فراسو یافته‌ی از مرتبه‌ی $1 - \gamma$ می‌باشند. (Vallee et al. 2004) یعنی

$$\mathcal{W}_{\psi_c^\gamma}|_{\emptyset(\cdot, z)}(x, a) = a^\gamma |A_{\gamma-1}| \quad (8)$$

$$\mathcal{W}_{\psi^{\gamma+1}}|_{\emptyset(\cdot, z)}(x, a) \text{ و } \mathcal{W}_{\psi^\gamma}|_{\emptyset(\cdot, z)}(x, a) \quad \text{اگر}$$

ضرایب موجک از مرتبه‌های متوالی $\gamma + 1$ باشند، آنگاه خواهیم داشت (Vallee et al. 2004) :

$$r^\gamma(x, a) = \frac{1}{a} \frac{\mathcal{W}_{\psi^{\gamma+1}}|_{\emptyset(\cdot, z)}(x, a)}{\mathcal{W}_{\psi^\gamma}|_{\emptyset(\cdot, z)}(x, a)} \quad (9)$$

به علاوه می‌توان نسبت R را برای بسط‌ها (سطوح ادامه‌ی فراسو) می‌توان نسبت a و a' و مکان‌های x و x' به شکل زیر تعریف نمود:

$$(10)$$

ج) دایک نازک قائم دو بعدی: (۱۵)

با استفاده از رابطه‌ی ضریب موجک مرتبه‌ی اول

دایک (پیوست C) خواهیم داشت:

(۱۸)

$$|\mathcal{W}_{\psi_c^2}|_{g(.,z)}(x,a) = \frac{(z_1+z_2+a)}{((z_1+a)^2+(z_2+a)^2)^2} 4Gpa^2 h$$

که این مقدار، اندازه‌ی ضریب موجک مرتبه‌ی دوم مربوط به این دایک می‌باشد.

روابط شاخص ساختاری و عمق مدل‌های مصنوعی

الف) پله‌ی قائم و مایل دو بعدی

با استفاده از معادلات ضرایب موجک مرتبه‌ی اول و دوم به دست آمده برای این دو مدل و محاسبه‌ی نسبت R به روشی که شرح داده شد، در نهایت می‌توان نسبت R و شاخص ساختاری این دو پله را به شکل روابط زیر بیان نمود:

(۱۹)

$$R = \frac{(z_1+a)(z_2+a)\ln(\frac{z_2+a}{z_1+a})}{(z_1+a)(z_2+a)\ln(\frac{z_2+a}{z_1+a})} \quad (۲۰)$$

$$N(a,a') =$$

$$\frac{\log[\frac{\ln(z_2+a)-\ln(z_1+a)}{\ln(z_2+a')-\ln(z_1+a')}] - 1}{\log(R)}$$

ب) دایک نازک قائم دو بعدی:

با استفاده از روابط به دست آمده برای ضرایب موجک مرتبه‌ی اول و دوم و همچنین با استفاده از روش شرح داده شده می‌توان روابط مربوط به نسبت R و شاخص ساختاری دایک نازک قائم را به شکل زیر به دست آورد:

$$R = \frac{z_1+z_2+2a}{2(z_1+a)(z_2+a)} \quad (۲۱)$$

$$\begin{aligned} \mathcal{W}_{\psi_c^2}|_{g(.,z)}(x,a) &= \\ G\rho a^2 &\left\{ \left(\frac{2x}{(z_2+a)^2+x^2} - \frac{2x}{(z_1+a)^2+x^2} \right) + \right. \\ &\left. 2i \left[\frac{(z_1+a)}{(z_1+a)^2+x^2} - \frac{(z_2+a)}{(z_2+a)^2+x^2} \right] \right\} \end{aligned}$$

اندازه (بزرگی) ضریب موجک مرتبه‌ی دوم عبارت خواهد بود از: ($\gamma = 2$)

(۱۶)

$$\begin{aligned} |\mathcal{W}_{\psi_c^2}|_{g(.,z)}(x,a) &= \\ G\rho a^2 &\left\{ \left(\frac{2x}{(z_2+a)^2+x^2} - \frac{2x}{(z_1+a)^2+x^2} \right)^2 + \right. \\ &\left. 4 \left[\frac{(z_1+a)}{(z_1+a)^2+x^2} - \frac{(z_2+a)}{(z_2+a)^2+x^2} \right]^2 \right\}^{\frac{1}{2}} \end{aligned}$$

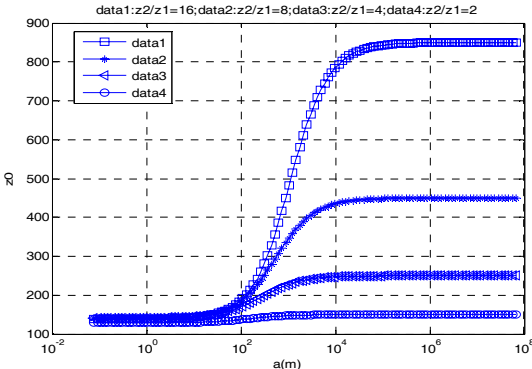
ب) دوم پله‌ی مایل دو بعدی:

برای محاسبه‌ی ضریب موجک مرتبه‌ی دوم این پله با استفاده از معادله‌ی (B-۶) خواهیم داشت:

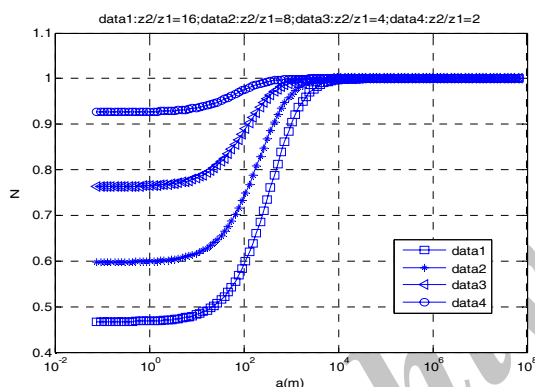
(۱۷)

$$\begin{aligned} |\mathcal{W}_{\psi_c^2}|_{g(.,z)}(x,a) &= \\ G\rho a^2 &\left\{ \left(\frac{(z_2+a)}{(z_2+a)^2+x_2^2} \right. \right. \\ &- \frac{(z_1+a)}{(z_1+a)^2+x_1^2} \left. \right) \sin 2\theta \\ &+ \cos^2 \theta \left(\frac{2x_2}{(z_2+a)^2+x_2^2} \right. \\ &- \frac{2x_1}{(z_1+a)^2+x_1^2} \left. \right) \\ &+ \left(\left(\frac{2(z_1+a)}{(z_1+a)^2+x_2^2} \right. \right. \\ &- \frac{2(z_2+a)}{(z_2+a)^2+x_2^2} \left. \right) \cos^2 \theta \\ &+ \cos \theta \sin \theta \left(\frac{2x_2}{(z_2+a)^2+x_2^2} \right. \\ &- \left. \left. \frac{2x_1}{(z_1+a)^2+x_1^2} \right) \right) \right\}^{\frac{1}{2}} \end{aligned}$$

از این نسبت استفاده خواهیم نمود. حال نمودار لگاریتم N و Z_0 را بر حسب لگاریتم a برای چند نسبت مختلف $\frac{z_2}{z_1}$ رسم می کنیم.



شکل ۳. نمودار عمق پیش بینی شده ی یک پله ی قائم برای نسبت های مختلف $\frac{z_2}{z_1}$ ، که برای این پله $Z_1=100$ متر بوده و $a'/a = 1/19$ می باشد. (نمودار نیم لگاریتمی)



شکل ۴. نمودار شاخص ساختاری پیش بینی شده ی یک پله ی قائم برای نسبت های مختلف $\frac{z_2}{z_1}$ ، که برای این پله $Z_1=100$ متر بوده و $a'/a = 1/19$ می باشد. (نمودار نیم لگاریتمی)

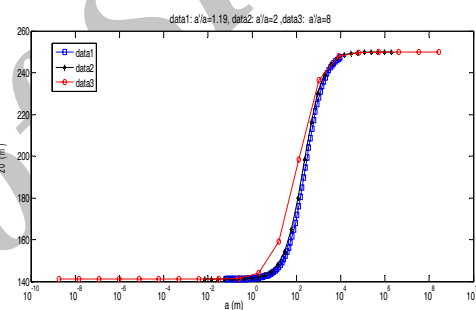
ملاحظه می شود به محض اینکه نسبت $\frac{z_2}{z_1}$ افزایش یابد، جواب به دست آمده به دو مقدار مجانب می شود. یکی از این جواب ها مربوط به بسط های پایین و دیگری مربوط به بسط های بالا است.

جواب بسط پایین مقداری نزدیک به عمق سطح بالایی Z_1 و شاخص ساختاری همبrij مطابقت دارد و جواب بسط های بالا به عمق متوسط دفن چشممه $\left(\frac{z_1+z_2}{2}\right)$ و شاخص ساختاری ۱ (ورقهی نازک) مربوط می شود. در بسط های پایین که مشاهدات خیلی به چشممه نزدیک هستند، پاسخ اغلب به عمق بالایی چشممه ختم می شود. در بین این دو حد، اطلاعات قابل توجه

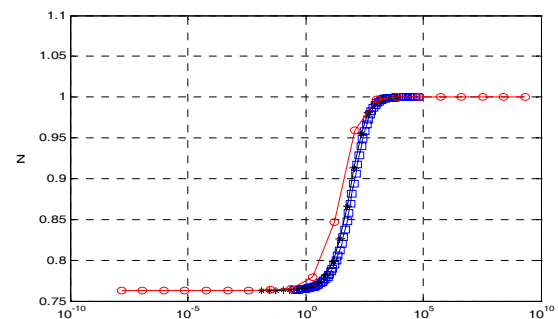
$$N = \frac{\log\left(\frac{(z_1+z_2+2a)(z_1+a)^2(z_2+a)^2}{(z_1+z_2+2a')(z_1+a')^2(z_2+a')^2}\right)}{\log R} - 1 \quad (22)$$

محاسبه ی شاخص ساختاری و عمق مدل های مصنوعی با استفاده از روش تبدیل موجک:
الف) پله ی قائم و مایل دو بعدی:

پله ای قائم را در نظر می گیریم که دارای عمق بالای ۱۰۰ متر و عمق پایین ۴۰۰ متر می باشد ($Z_2/Z_1=4$). با استفاده از معادلات (20) و (12) نمودار شاخص ساختاری و عمق را بر حسب لگاریتم چند بسط مختلف رسم می کنیم (نمودار نیم لگاریتمی شکل های (۱) و (۲)).



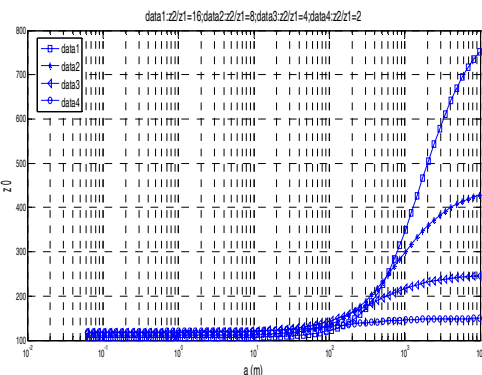
شکل ۱. عمق پیش بینی شده برای یک پله ی قائم با نسبت های $z2/z1=4$ و $Z1=100m$ می باشد.



شکل ۲. شاخص ساختاری پیش بینی شده برای یک پله ی قائم با $z2/z1=4$ و $Z1=100m$ می باشد.

همانطور که ملاحظه می کنید، برای این نسبت های مختلف، نمودارهای مشابهی به دست آمده اند، که البته بهترین جواب مربوط است به کمترین نسبت، یعنی: $\frac{a'}{a} = \sqrt[4]{2} = 1.19$. بنابراین تا پایان این مقاله همه جا

می دهیم. حال برای نسبت های مختلف Z_2/Z_1 و با استفاده از معادلات (۲۲) و (۱۲) نمودار شاخص ساختاری و عمق را برای این دایک به صورت زیر رسم می نماییم:



شکل ۶. شاخص ساختاری پیش بینی شده ی یک دایک نازک قائم برای نسبت های مختلف $\frac{z_2}{z_1}$ ، که برای این دایک $Z_{I1}=100$ متر بوده و $a'/a = 1/19$ می باشد.

الگوریتم روش تبدیل موجک برای کار با داده های مصنوعی و واقعی

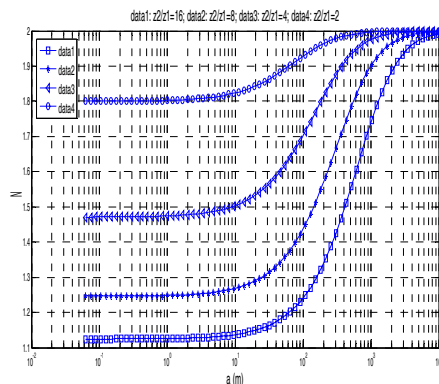
مراحل مختلف روشی که در این مقاله برای پردازش و تفسیر داده های گرانی از آن استفاده کرده ایم را می توان در الگوریتمی با مراحلی به شرح زیر ، خلاصه نمود: (Vallee et al. 2004)

- ۱- با یک پروفیل گرانی شروع می کنیم.
- ۲- نمودار بی هنجاری باقیمانده را بر حسب فاصله در امتداد پروفیل رسم می کنیم.
- ۳- تبدیل فوریه ی داده های مصنوعی را به دست می آوریم.
- ۴- در حوزه ی عدد موج، تبدیل فوریه ی مشتقات افقی و قائم مورد نیاز را حساب می کنیم.
- ۵- در حوزه ی عدد موج، تبدیل فوریه ی مشتقات ادامه ی فراسو یافته ی میدان را برای چندین ارتفاع حساب می کنیم.
- ۶- مشتقات ادامه ی فراسو یافته برای ارتفاع های متواالی را به حوزه ی مکان می برمی (تبدیل فوریه ی معکوس آنها را حساب می کنیم).

چندانی وجود ندارد. مساله ای که اهمیت دارد این است که در مورد اطلاعات به دست آمده از بسط های پایین باید بسیار دقیق عمل کرد. چرا که این اطلاعات در صورتی عمق سطح بالایی چشمی را بیان می کند که چشمی کم عمق باشد یا به عبارتی Z_1 کوچک باشد. برای Z_1 های بزرگتر (یا به عبارتی برای چشمی های عمیق تر که در آن ها نسبت $\frac{z_2}{z_1}$ به ۱ نزدیک می شود)، نمودار هموارتر می شود و حتی برای بسط های کوچکتر نیز مقدار عمق نزدیک به Z_{I2} باقی می ماند.

بنابراین قابل اعتماد بودن ناچیز بسط های پایین را می توان از نمودار های به دست آمده مشاهده نمود. در عوض هر چه که بالاتر از چشمی قرار داشته باشیم، شاخص ساختاری به دست آمده قابل اعتماد تر است.

همچنین وقتی که یک بی هنجاری به تنها یک مورد بررسی قرار می گیرد، در ماکریم بسط محدودیتی وجود دارد که می توان آن را تحت تأثیر بی هنجاری های مجاور دانست. به علاوه، پرسه ی ادامه ی فراسو باعث تحریف شدن و از بین رفتن بی هنجاری های اطراف لبه های پروفیل می شود.

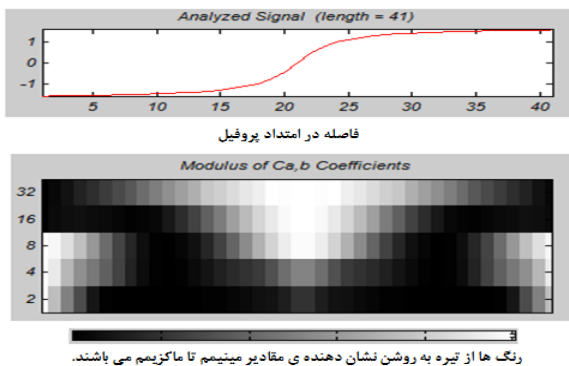


شکل ۵. عمق پیش بینی شده ی یک دایک نازک قائم برای نسبت های مختلف $\frac{z_2}{z_1}$ ، که برای این دایک $Z_{I1}=100$ متر بوده و $a'/a = 1/19$ می باشد. (نمودار نیم لگاریتمی)

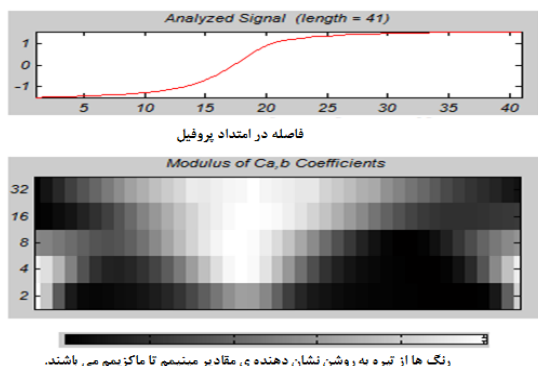
ب) دایک نازک قائم

دایک نازک قائمی را در نظر می گیریم که دارای عمق بالای ۱۰۰ متر و عمق پایین آن را هر بار تغییر

پروفیل گرانی پی برد. به تفاوت میان نمودار های دو مدل پله ی قائم و مایل توجه کنید.



شکل ۷. تصویر بالایی : نمودار گرانی قائم یک پله ی قائم با ارتفاع های $z2=400$ و $z1=100m$ می باشد . مقادیر محور عمودی گرانی بر حسب میلی گال و محور افقی نیز فاصله در امتداد پروفیل بر حسب متر می باشند. تصویر پایینی: نمودار ضرایب موجک مرتبه ی اول که در آن ضرایب موجک ماکزیمم با رنگ روشن تر نشان داده شده اند. محور عمودی ضرایب بسط (سطوح ادامه ی فراسو) را نشان می دهد.



شکل ۸. تصویر بالایی : نمودار گرانی قائم یک پله ی مایل با زاویه ی ۴۵ درجه نسبت به امتداد قائم و با ارتفاع های $z2=400$ و $z1=100m$ می باشد . مقادیر محور عمودی گرانی بر حسب میلی گال و محور افقی نیز فاصله در امتداد پروفیل بر حسب متر می باشند. تصویر پایینی: نمودار ضرایب موجک مرتبه ی اول که در آن ضرایب موجک ماکزیمم با رنگ روشن تر نشان داده شده اند. محور عمودی ضرایب بسط (سطوح ادامه ی فراسو) را نشان می دهد.

۷- سیگنال تحلیلی مرتبه ی ۰ و ۱ نرمالیز شده بر حسب ارتفاع را برای بدست آوردن تبدیل موجک، حساب می کنیم.

۸- در امتداد نمودارهای ضرایب موجک، ضرایب موجک ماکزیمم در هر ارتفاع را مشخص می کنیم.

۹- معادلات (۹)، (۱۰)، (۱۲) و (۱۳) را برای تخمین عمق و شاخص ساختاری زوج ارتفاع های مختلف به کار می بریم. انتخاب نسبت ارتفاع ها $a'/a = 1/19$ خواهد بود.

۱۰- بهترین جواب را برای نمودار های مختلف انتخاب می کنیم.

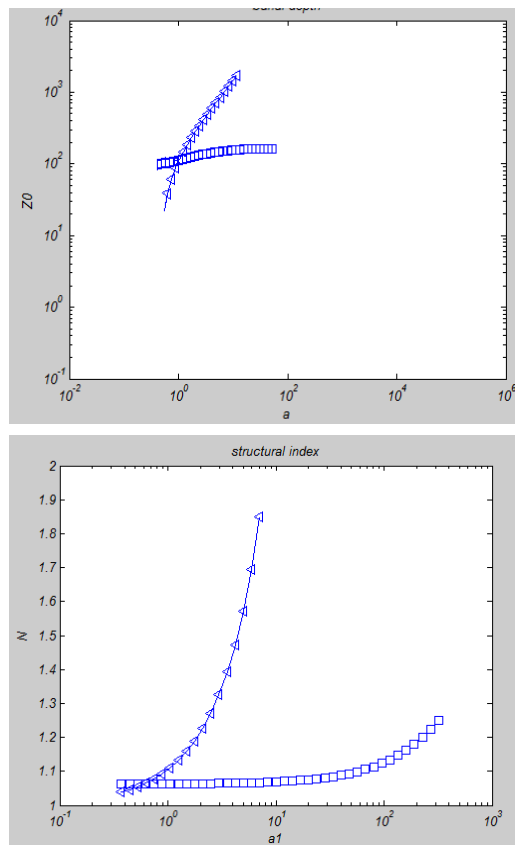
ایجاد داده های مصنوعی

در این مرحله برای هریک از مدل های در نظر گرفته شده با استفاده از رابطه های گرانی قائم آنها (پیوست های A تا C)، با در نظر گرفتن پروفیلی با فاصله ی نقاط مساوی (۱۰۰ متر) اقدام به ایجاد داده های گرانی مصنوعی نموده و سپس نمودار گرانی قائم هریک را بر حسب فاصله در امتداد پروفیل رسم می نماییم. تمامی مراحل با استفاده از برنامه نویسی در محیط Matlab انجام می شود. عمق سطح بالای مدل ها برابر ۱۰۰ متر و عمق سطح پایینی آنها نیز ۴۰۰ متر در نظر گرفته شده است. زاویه ی شیب پله ی مایل با امتداد قائم نیز ۴۵ درجه می باشد.

ضرایب موجک مرتبه ی اول ماکزیمم پله ی قائم و پله ی مایل:

پس از ایجاد داده های مصنوعی و محاسبه ی ضرایب موجک آنها برای هر کدام از مدل های مصنوعی، نمودار ضرایب موجک بر حسب ضرایب بسط (سطوح ادامه ی فراسو) را رسم می نماییم. همانطور که در شکل های (۷) و (۸) مشاهده می شود، ضرایب موجک ماکزیمم، قسمت های روشن تر نمودار را تشکیل می دهند که می توان از این طریق به وجود یک بی هنجاری مشخص در طول یک

مصنوعی در این دو نمودار دایکی با سطح بالای $Z_2=400m$ و $Z_1=100m$ می باشد.



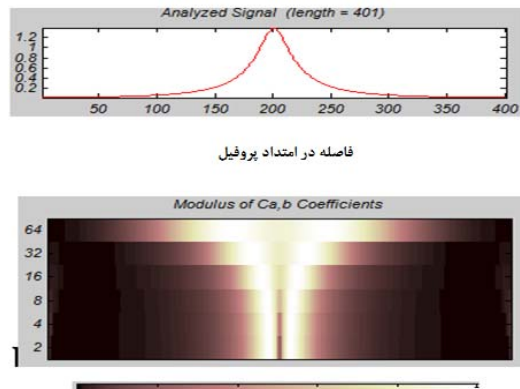
شکل ۱۰. (الف) نمودار عمق (نمودار بالای) و (ب) شاخص ساختاری (نمودار پایینی) برای مدل مصنوعی دایک نازک قائم.

نتیجه گیری

روشن تبدیل موجک برای تعیین شاخص ساختاری و عمق، با استفاده از روابط به دست آمده از نسبت ضرایب موجک، بر روی داده های حاصل از سه مدل مصنوعی پلهی قائم، پلهی مایل و دایک نازک انجام شد. نتایج به دست آمده از روش تحلیلی در بسط های بالا با شاخص ساختاری و عمق این مدل ها تطابق داشت. سپس با کاربرد الگوریتم روش تبدیل موجک و با استفاده از مشتقات افقی و قائم در حوزه فوریه، نمودارهایی برای شاخص ساختاری و عمق به دست آمد (روشن عددی). در مرحله‌ی بعد نمودارهای به دست آمده از روش های تحلیلی و روش عددی، مقایسه شدند. نتایج به دست آمده نشان داد که دو روش تحلیلی و عددی در ادامه‌ی فراسو تا ارتفاع های پایین از تطابق خوبی برخوردارند، اما

ضرایب موجک مرتبه‌ی اول ماکزیمم دایک نازک قائم:

در شکل (۹) نیز نمودار ضرایب موجک یک دایک نازک قائم را مشاهده می نمایید.



رنگ ها از تیره به روشن نشان دهنده مقدار مینیمم تا ماکزیمم می باشند.

شکل ۹. تصویر بالایی: نمودار گرانی قائم یک دایک نازک قائم با ارتفاع های $Z_2=400m$ $Z_1=100m$ می باشد . مقدار محور عمودی گرانی بر حسب میلی کال و محور افقی نیز فاصله در امتداد پروفیل بر حسب متر می باشد. تصویر پایینی: نمودار ضرایب موجک مرتبه‌ی اول که در آن ضرایب موجک ماکزیمم رنگ روشن تر نشان داده شده اند. محور عمودی ضرایب بسط (سطوح ادامه‌ی فراسو) را نشان می دهد.

تعیین شاخص ساختاری و عمق با استفاده از الگوریتم روش تبدیل موجک

با استفاده از برنامه‌ی کامپیوتري که برای محاسبه‌ی ضرایب موجک در نظر گرفته شده است، دو نمودار برای عمق و شاخص ساختاری به دست می آید که در نمودارهای شکل (۱۰) منحنی شاخص ساختاری و عمق برای هر دو روش عددی و تحلیلی با هم مقایسه شده اند. همانطور که در تصاویر مشاهده می نمایید، در بسط های پایین، منحنی‌ها نقاط اشتراکی دارند که در منحنی (الف) نشان دهنده‌ی شاخص ساختاری و در منحنی (ب) نشان دهنده‌ی عمق سطح بالای جسم مذکون می باشد. مدل

سیگنال تحلیلی و ضرائب موجک مرتبه ی اول و دوم ($\gamma = 1,2$) مربوط به پله ی قائم گرانی را با استفاده از نگارش $a=-z>0$ برای سطوح ادامه ی فراسو (بسط ها)، و با استفاده از رابطه ی (۱۱)، برای تمام سطوح بالای سطح اندازه گیری $z=0$ می توانیم به دست بیاوریم :

(Martelet et al. 2001)

$$\frac{\mathcal{W}_{\psi_c^1 | g_{(.,z)}(x,a)}}{a} = \left(\frac{\partial}{\partial x} + i \frac{\partial}{\partial z} \right) g_z = A_0$$

که A_0 سیگنال تحلیلی می باشد.

(A

$$\frac{\mathcal{W}_{\psi_c^1 | g_{(.,z)}(x,a)}}{a} = G\rho \left\{ \ln \left(\frac{x^2 + (z_2 + a)^2}{x^2 + (z_1 + a)^2} \right) + 2i[\tan^{-1} \left(\frac{x}{z_1 + a} \right) - \tan^{-1} \left(\frac{x}{z_2 + a} \right)] \right\}$$

اندازه (بزرگی) ضریب موجک مرتبه ی اول ($\gamma = 1$) عبارت خواهد بود از:

(A)

$$|\mathcal{W}_{\psi_c^1 | g_{(.,z)}(x,a)}| = G\rho a \left\{ \left[\ln \left(\frac{x^2 + (z_2 + a)^2}{x^2 + (z_1 + a)^2} \right) \right]^2 + 4 \left[\tan^{-1} \left(\frac{x}{z_1 + a} \right) - \tan^{-1} \left(\frac{x}{z_2 + a} \right) \right]^2 \right\}^{\frac{1}{2}}$$

پیوست B :

ضریب موجک مرتبه ی اول پله ی مایل گرانی قائم یک پله ی دو بعدی مایل (شکل(B-۱)) عبارت است از (Martelet et al. 2001)

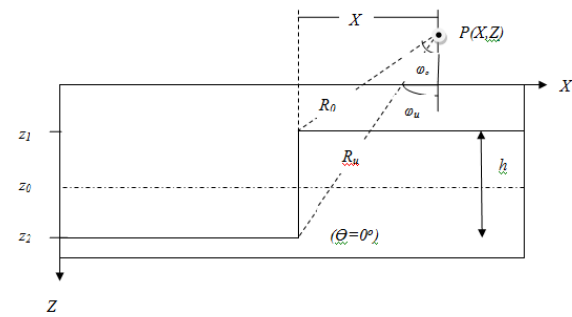
در ارتفاع های بالاتر به دلیل تاثیر بی هنجاری های بزرگ مقیاس عمیق بر بی هنجاری های سطحی تر، تطابق چندان خوبی بین این دو روش وجود ندارد.

پیوست A

ضریب موجک مرتبه ی اول پله ی قائم

با استفاده از رابطه ی گرانی قائم و سیگنال تحلیلی، می توان ضریب موجک مرتبه ی اول پله ی قائم دو بعدی را به دست آورد. پله ی قائم محدودی که در اینجا در نظر گرفته ایم، در مکان X واقع شده و عمق سطوح بالایی و پایینی آن به ترتیب عبارتند از: z_1 و z_2 (شکل(A)).

(Martelet et al. 2001)



شکل (A). نمایشی از مقطع عرضی یک پله ی قائم، با عمق سطح بالایی z_1 و عمق سطح پایینی z_2 ، که عمق دفن آن z_0 می باشد. (Martelet et al. 2001)

رابطه ی مربوط به جاذبه ی قائم پله ی قائم محدود عبارت است از :

(A)

$$g(x,z) = G\rho \left\{ \tan^{-1} \left(\frac{x}{z_2 - z} \right) [2(z_2 - z)] - \tan^{-1} \left(\frac{x}{z_1 - z} \right) [2(z_1 - z)] + x \ln \left(\frac{x^2 + (z_2 - z)^2}{x^2 + (z_1 - z)^2} \right) \right\}$$

$G = 6.67 \times 10^{-11} \frac{N \cdot m^2}{kg^2}$ ک ثابت

جهانی گرانش و ρ تابیں چگالی پله ی قائم با محیط اطرافش می باشد.

$$\cos \theta^2 \ln\left(\frac{x_2^2 + (z_2+a)^2}{x_1^2 + (z_1+a)^2}\right) + 2i \left[\tan^{-1}\left(\frac{x_1}{z_1+a}\right) - \tan^{-1}\left(\frac{x_2}{z_2+a}\right) \right] \cos^2 \theta + \sin \theta \cos \theta \ln \left[\left(\frac{x_2^2 + (z_2+a)^2}{x_1^2 + (z_1+a)^2} \right) \right]$$

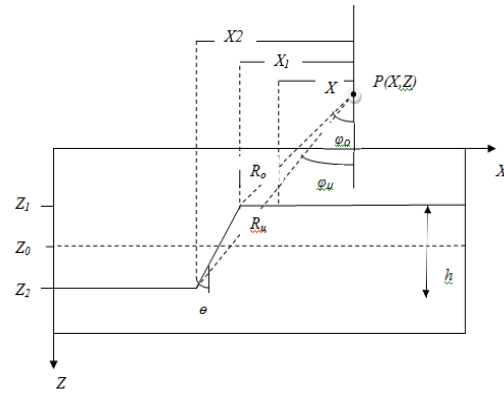
که این مقدار معادل سیگنال تحلیلی یا A_0 می باشد.
اندازه ای ضریب موجک مرتبه ای اول ($\gamma=1$) این پله عبارت خواهد بود از:

(۷-B)

$$|\mathcal{W}_{\psi_c^{-1}}|_{g(\cdot,z)}(x,a) = G\rho a \left\{ \left[\tan^{-1}\left(\frac{x_2}{z_2+a}\right) - \tan^{-1}\left(\frac{x_1}{z_1+a}\right) \right] \sin 2\theta + \cos^2 \theta \ln\left(\frac{x_2^2 + (z_2+a)^2}{x_1^2 + (z_1+a)^2}\right)^2 + \left(2 \left[\tan^{-1}\left(\frac{x_1}{z_1+a}\right) - \tan^{-1}\left(\frac{x_2}{z_2+a}\right) \right] \cos^2 \theta + \sin \theta \cos \theta \ln\left(\frac{x_2^2 + (z_2+a)^2}{x_1^2 + (z_1+a)^2}\right) \right)^2 \right\}^{\frac{1}{2}}$$

: C

با استفاده از معادله ای پواسون می توان میدان مغناطیسی کل را به میدان شبیه گرانی تبدیل نمود (Baranov, 1957). در اینجا نیز می توان از این خاصیت استفاده نموده و سیگنال تحلیلی و ضریب موجک مرتبه ای اول دایک نازک قائم را محاسبه نمود. در حوزه ای موجک، ضرائب موجک مرتبه ای $I+I$ مربوط به g_z (میدان گرانی قائم) با ضرائب موجک مرتبه ای T (میدان مغناطیسی کل) از طریق رابطه ای زیر مربوط می باشند (Sailhac et al. 2000):



شکل (B-۱). نمایش مقطع عرضی یک پله ای مایل

(Martelet et al. 2001)

(۸-B)

$$g(x,z) = \begin{cases} \tan^{-1}\left(\frac{x_2}{z_2-z}\right) [2(z_2-z) + x \sin 2\theta] - \tan^{-1}\left(\frac{x_1}{z_1-z}\right) \\ [2(z_1-z) + x \sin 2\theta] + x \cos^2 \theta \ln\left(\frac{x^2 + (z_2+a)^2}{x^2 + (z_1+a)^2}\right) \end{cases}$$

که X_1 و X_2 عبارتند از:

$x_1 = x + (z_1 - z) \tan \theta \quad (2-B)$

$x_2 = x + (z_2 - z) \tan \theta \quad (3-B)$

در شکل (B-۱) زوایای ϕ_o و ϕ_u عبارتند از:

(4-B)

$\phi_o = \tan^{-1}\left(\frac{x_1}{z_1-z}\right)$

(5-B)

$\phi_u = \tan^{-1}\left(\frac{x_2}{z_2-z}\right)$

این بار نیز با توجه به اینکه $a=-z$ می باشد، برای سطوح مختلف ادامه ای فراسو و با توجه به رابطه ای (۱۱)، ضرائب موجک مختلط مرتبه ای اول و دوم را با استفاده از سیگنال تحلیلی برای تمام سطوح بالای سطح اندازه $z=0$ به دست می آوریم (Martelet et al. 2001):

(6-B)

$$\frac{\mathcal{W}_{\psi_c^{-1}}|_{g(\cdot,z)}(x,a)}{a} = G\rho \left\{ \left[\tan^{-1}\left(\frac{x_2}{z_2+a}\right) - \tan^{-1}\left(\frac{x_1}{z_1+a}\right) \right] \sin 2\theta + \right.$$

$$|\mathcal{W}_{\psi_c^1}|_{g_z(0,z=0)}(x, a) =$$

$$(r-C)$$

$$\frac{2Gpah}{\sqrt{(x^2 + (z_1 + a)^2)(x^2 + (z_2 + a)^2)}}$$

$$2Gpah \left[\frac{1}{(z_2 + a) - ix} - \frac{1}{(z_1 + a) - ix} \right]$$

$$\mathcal{W}_{\psi_c^{\gamma+1}}|_{g_z(0,z=0)}(x, a) \\ = a \mathcal{W}_{\psi_c^\gamma}|_{T(0,z=0)}(x, a)$$

$$(1-C)$$

بنابراین می توان ضریب موجک مرتبه ۱ اول میدان گرانی قائم دایک نازک قائم را از یکی از روابط میدانهای مغناطیسی کل چشممه ی پله ای، به این صورت به دست آورد (Martelet et al. 2001)

(r-C)

$$\mathcal{W}_{\psi_c^1}|_{g_z(0,z=0)}(x, a) =$$

References

- Baranov, V., 1957, A new method for interpretation of aeromagnetic maps: Pseudogravimetric anomalies, Geophysics, 22,359-383.
- Martelet, G., Sailhac, P., and Diamant, M., 2001, characterization of geological boundaries using wavelet transform on gravity data: theory and application to Himalayas, Geophysics, 4, 1116-1129.
- Moreau, F., 1995, Méthodes de traitement de données géophysiques par transformée en ondelettes. Thèse de doctorat, 177 pp., Univ. de Rennes I, Rennes, France.
- Moreau,F., Gibert, D., Holschneider, and Saracco, G., 1997, Wavelet analysis of potential fields, Inverse Probl., 13, 165-178.
- Moreau,F., Gibert, D., Holschneider, and Saracco, G., 1999, Identification of sources of potential fields with the continuous wavelet transform: Basic theory, J. Geophys.Res. , 104, 507-517.
- Nabighian, N. N., 1972, The analytic signal of two-dimentional magnetic bodies with polygonal cross-section, Geophysics, 37, 507-517.
- Sailhac, Pascal and Galdeano, Armand, and Delor , Claude, 2000, Identification of sources of Potential fields with the continuous wavelet transform :complex wavelets and application to aeromagnetic profiles in French Guiana ,Journal of geophysical research , B8 ,19,455-19,475.
- Sailhac .Pascal and Gilbert, Dominique, 2003, Identification of source of potential fields with the continuious wavelet transform :two –dimensional wavelet and multipolar approxmitions ,Journal of Geophysical research,B5,2262,doi: 10.1029/2002jb 002021.
- Vallee, Marc A., Keating,Pierre , Richard,S.Smith and St-Hilaire, 2004, Camille,estimating depth and model type using the continuous wavelet transform of magnetic data ,geophysics, 1 ,191-199.